

· 论 著 · doi:10.3969/j.issn.1671-8348.2015.11.005

# PKP 治疗骨质疏松性爆裂骨折疗效及骨水泥渗漏途径的探讨\*

王永江<sup>1</sup>, 王清<sup>2△</sup>, 姚琦<sup>3</sup>

(1. 内蒙古自治区鄂尔多斯市中心医院脊柱外科, 内蒙古鄂尔多斯 017000; 2. 泸州医学附属医院脊柱外科, 四川泸州 646000; 3. 北京世纪坛医院骨科, 北京 100038)

**[摘要]** 目的 通过经皮椎体后凸成形术(PKP)治疗骨质疏松性爆裂骨折(OVBF), 评估临床疗效及探寻骨水泥向椎管内渗漏的途径。方法 根据 AO 分型, 将 2005 年 10 月至 2013 年 5 月鄂尔多斯市中心医院收治的 OVBF 患者 45 例(45 个椎体), 采用 PKP 治疗, 通过术后 CT 平扫确定骨水泥向椎管内、椎间隙渗漏的途径, 测量术前、术后椎体高度、Cobb 角、椎管狭窄改善情况。比较术前、术后视觉模拟评分(VAS)变化情况。结果 骨水泥向椎管内渗漏 2 例, 渗漏途径主要是通过椎基静脉孔, 骨水泥向上位椎间隙渗漏高于下位椎间隙。椎体高度恢复、Cobb 纠正、VAS 术前、术后比较, 差异有统计学意义( $P < 0.05$ )。椎管狭窄率术前、术后比较, 差异无统计学意义( $P > 0.05$ )。结论 PKP 治疗 OVBF 不是禁忌证, OVBF 经 PKP 治疗后骨水泥向椎管内渗漏主要途径是椎基静脉孔, 向椎间隙渗漏与终板损伤有关。

**[关键词]** 椎体成形术; 骨质疏松; 爆裂骨折; 骨水泥渗漏; 椎基静脉孔

**[中图分类号]** R638.2

**[文献标识码]** A

**[文章编号]** 1671-8348(2015)11-1457-03

## Efficacy of percutaneous kyphoplasty for treating osteoporotic burst fractures and bone cement leaking pathway\*

Wang Yongjiang<sup>1</sup>, Wang Qing<sup>2△</sup>, Yao Qi<sup>3</sup>

(1. Department of Spine Surgery, Erdos Municipal Central Hospital of Neimenggu Autonomous Region, Neimenggu, Erdose 017000, China; 2. Department of Spine Surgery, Affiliated Hospital of Luzhou Medical College, Luzhou, Sichuan 646000, China; 3. Department of Orthopedics, Beijing Millennium Monument Hospital, Beijing 100038, China)

**[Abstract]** **Objective** To evaluate the clinical curative efficacy and to explore the leaking pathway of bone cement to vertebral canal through treating osteoporotic vertebral burst fractures (OVBF) by using percutaneous kyphoplasty (PKP). **Methods** According to AO classification, 45 OVBF patients with 45 vertebrae in the Erdos Central Hospital from October 2005 to May 2013 were treated by using PKP. The pathway of bone cement leaking to spinal canal and intervertebral space was determined by postoperative CT plain scan. The postoperative vertebral height, Cobb angle and spinal stenosis improvement were measured. The change of VAS were compared between before and after operation. **Results** There were 2 cases of bone cement leaking to spinal canal. The leaking passway was mainly through basivertebral foramen. The leakage of bone cement to superior intervertebral space was higher than that to lower intervertebral space. The recovery of the vertebral height, correction of Cobb angle and pre- and post-operative VAS scores had statistically significant differences ( $P < 0.05$ ). The spinal stenosis rate had no statistical difference between before and after operation ( $P > 0.05$ ). **Conclusion** PKP for treating OVBF is not a contraindication. The main pathway of bone cement leaking to spinal canal is basivertebral foramen after the treatment of OVBF by using PKP, the leakage to intervertebral space is related with the endplate damage.

**[Key words]** vertebroplasty; osteoporosis; vertebral burst fractures; leakage of bone cement; basivertebral foramen

经皮椎体后凸成形术(percutaneous kyphoplasty, PKP)治疗骨质疏松性压缩骨折(osteoporotic vertebral compression fracture, OVCF)、椎体转移瘤、骨髓瘤、血管瘤等疾病已经取得了满意的疗效。骨质疏松性爆裂骨折(osteoporotic vertebral burst fracture, OVBF)采用 PKP 治疗仍存在争议<sup>[1]</sup>。一些学者认为由于 OVBF 患者椎体高度降低、后壁骨折及椎间盘损伤, 采用 PKP 治疗可能增加椎体后壁骨折块移位及骨水泥通过破裂的骨皮质渗漏到椎管内和椎间隙。本研究采用 PKP 治疗 OVBF 患者 45 例, 取得满意的疗效, 现报道如下。

## 1 资料与方法

**1.1 一般资料** 自 2005 年 10 月至 2013 年 5 月鄂尔多斯市中心医院脊柱外科采用 PKP 治疗的椎体骨质疏松性骨折(os-

teoporotic vertebral fractures, OVF)的患者 314 例(343 个椎体)。纳入标准:(1)年龄大于或等于 60 岁;(2)剧烈的腰背部疼痛;(3)无相应骨折节段脊髓神经根损伤定位体征;(4)双能 X 线骨密度测定为中重度骨质疏松症患者;(5)MRI 显示单椎体或多椎体的骨质疏松性骨折, 即 T<sub>1</sub>W 呈低信号, T<sub>2</sub>W 呈高信号, STIR 呈高信号;(6)CT 显示椎体骨折线波及前中柱或单纯前柱(AO 分型均为 A3.1 型), 椎管侵占率小于 50%。排除标准:(1)骨折伴有脊髓神经根受损症状与体征;(2)术后病理证实为血管瘤、骨髓瘤、转移瘤;(3)陈旧性骨折不愈合、同一椎体再发骨折等;(4)骨折累积后柱。符合上述标准的 OVBF 患者共 45 例(45 个椎体)为观察组, 其中男 9 例, 女 36 例; 年龄 60~87 岁, 平均(74.00±5.42)岁。腰背部疼痛到手术时间为

\* 基金项目: 国家自然科学基金资助项目(81000796)。 作者简介: 王永江(1975—), 副主任医师, 硕士研究生, 主要从事脊柱骨折微创研究。 △ 通讯作者, Tel: 13948677435; E-mail: 1642038626@qq.com。

21 d~3 个月,平均(21.00±3.11) d;骨密度(BMD)–2.52~–3.61,平均–3.05±1.17(根据 WHO 标准);骨折原因为坠落伤 13 例,跌倒伤 27 例,扭伤 2 例,车祸伤 1 例,无明显原因 2 例。骨折椎的分布:T<sub>11</sub> 2 例,T<sub>12</sub> 12 例,L<sub>1</sub> 14 例,L<sub>2</sub> 10 例,L<sub>3</sub> 4 例,L<sub>4</sub> 2 例,L<sub>5</sub> 1 例。术前视觉模拟评分(VAS)6.00~8.91 分,平均(8.72±1.23)分。椎体高度:前缘为 54%~84%,平均(70.22±5.31)%;中央为 56.21%~82.00%,平均(72.33±4.14)%;后缘为 59.53%~88.41%,平均(76.17±3.62)%. Cobb 角:13.62°~34.51°,平均(16.92±5.31)°。椎管矢状径狭窄率:0%~50.16%,平均(9.72±2.42)%. 对照组纳入标准为椎体前柱骨折,椎管不受倾,其他标准与观察组一致。符合上述标准的 OVCF 患者 269 例(298 个椎体)为对照组,其中男 68 例,女 201 例;年龄 60~89 岁,平均(72±6.81)岁。外伤后疼痛到手术时间 7 d~6 个月,平均(19.00±2.14)d;BMD–2.63~–3.56,平均–3.12±1.13。单椎体骨折 251 例,双椎体骨折 11 例,3 个椎体骨折 4 例,4 个椎体骨折 2 例,5 个椎体骨折 1 例。骨折椎的分布:T<sub>11</sub> 14 例,T<sub>12</sub> 87 例,L<sub>1</sub> 96 例,L<sub>2</sub> 64 例,L<sub>3</sub> 23 例,L<sub>4</sub> 12 例,L<sub>5</sub> 2 例。

## 1.2 方法

**1.2.1 治疗方法** 314 例 OVF 患者均由本科室两位通过正规培训过 PKP 技术的副主任医师进行。穿刺方法为本课题组自行设计的横突-关节突入路<sup>[2]</sup>。当骨水泥接近椎体后 1/5 或出现渗漏时立即停止注射,记录骨水泥的量。

**1.2.2 效果评价方法** 将骨水泥渗漏分为:椎管内、上位椎间盘、下位椎间盘。观察组,采用影像学软件 eFilm Workstation V 2.03 测量伤椎高度及 Cobb 角,参照 Lee 等<sup>[3]</sup>方法测量骨折椎前缘、中部、后缘高度,根据 Kuklo 等<sup>[4]</sup>的方法测量矢状面后凸 Cobb 角。在椎体 CT 横断面测量术前术后椎管中矢状径狭窄率。应用视觉模拟评分(VAS)评定患者疼痛改善程度。VAS 评分标准为 0~10 分:0 分为无痛;<3 分为轻微的疼痛,能忍受;3~6 分为患者疼痛并影响睡眠,尚能忍受;>6~10 分为患者有强烈的疼痛,疼痛难忍,影响食欲,影响睡眠。

**1.3 统计学处理** 应用 SPSS14.0 统计学软件进行分析,计量资料用  $\bar{x}\pm s$  表示,组间比较采用 *t* 检验;计数资料用率表

示,组间比较采用  $\chi^2$  检验,以  $P<0.05$  为差异有统计学意义。

## 2 结 果

**2.1 两组患者手术效果比较** 两组患者均顺利完成手术,患者的年龄、病程、骨密度、骨水泥注入量两组比较,差异均无统计学意义( $P>0.05$ ),见表 1。观察组渗漏到椎管内 2 例,均通过椎基静脉孔(图 1)渗漏;对照组渗漏到椎管内 19 例,16 例经椎基静脉孔渗漏,两组比较差异无统计学意义( $P>0.05$ )。观察组骨水泥渗漏到上位椎间隙 4 例,对照组为 7 例,两组比较差异有统计学意义( $P<0.05$ ),观察组骨水泥渗漏到下位椎间隙 1 例,对照组为 2 例,两组比较差异无统计学意义( $P>0.05$ ),见表 2。

**2.2 随访** 观察组随访 1 个月至 3 年,平均 3 个月。观察组 VAS 评分、椎体高度、Cobb 角在术后、末次随访与术前比较,差异有统计学意义( $P<0.05$ )。椎管狭窄程度术后、末次随访与术前比较,差异无统计学意义( $P>0.05$ ),见图 2、表 3。对照组随访 1 个月至 2 年零 10 个月,对照组 VAS 评分、椎体高度、Cobb 角在术后、末次随访与术前比较,差异有统计学意义( $P<0.05$ ),结果见表 4。

表 1 两组患者一般资料比较( $\bar{x}\pm s$ )

组别	n	年龄(岁)	病程(d)	BMD	骨水泥注入量(mL)
观察组	45	74.00±5.42	21.00±3.11	–3.05±1.17	4.50±1.17
对照组	269	72.00±6.81	19.00±2.14	–3.12±1.13	4.70±1.21
P		0.734	0.783	0.863	0.791

表 2 两组患者不同部位骨水泥渗漏情况比较[n(%)]

组别	n	椎管	上位椎间盘	下位椎间盘
观察组	45	2(4.44)	4(8.89)	1(2.22)
对照组	298	19(6.38)	7(2.35)	2(0.67)
P		0.460	0.062	0.141

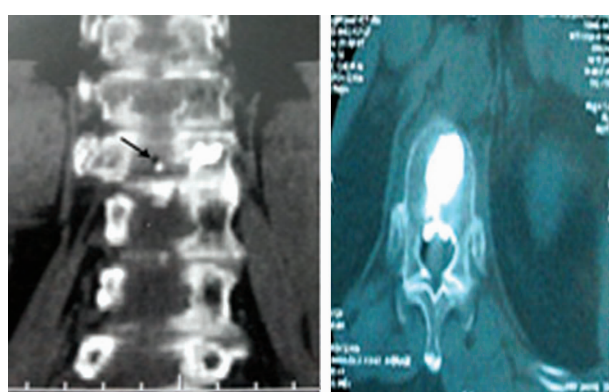


图 1 骨水泥在椎基静脉孔

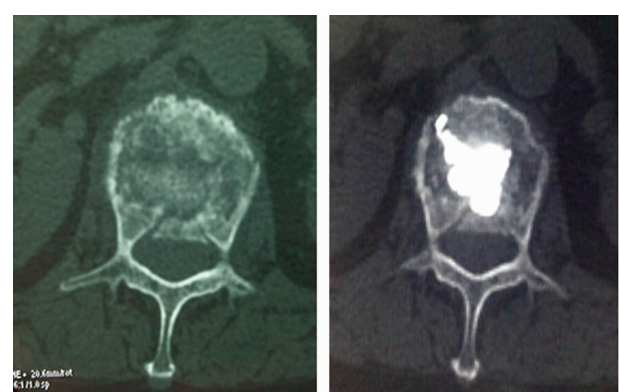


图 2 OVBF 术前、术后 CT 图像

表 3 观察组手术前、后椎体高度、Cobb 角及椎管狭窄等比较( $\bar{x}\pm s$ ,n=45)

时间	Cobb 角(°)	前缘(%)	中央(%)	后缘(%)	狭窄率(%)	VAS(分)
手术前	16.92±5.31	70.22±5.31	72.33±4.14	76.17±3.62	9.72±2.42	8.72±1.23
手术后	9.93±3.81 <sup>a</sup>	86.53±4.73 <sup>a</sup>	87.15±3.92 <sup>a</sup>	86.83±4.43 <sup>a</sup>	9.70±2.45	3.07±0.95 <sup>a</sup>
末次随访	9.22±2.43 <sup>a</sup>	85.13±2.64 <sup>a</sup>	86.45±2.86 <sup>a</sup>	84.47±3.25 <sup>a</sup>	8.61±1.87	2.86±0.87 <sup>a</sup>

<sup>a</sup>: P<0.05,与手术前比较。

表 4 对照组手术前、后椎体高度、Cobb 角等比较( $\bar{x} \pm s$ , n=298)

时间	Cobb 角(°)	前缘(%)	中央(%)	VAS(分)
手术前	15.24±4.38	68.25±5.43	71.36±4.47	7.76±1.23
手术后	8.96±4.63 <sup>a</sup>	87.58±4.52 <sup>a</sup>	86.13±3.81 <sup>a</sup>	2.10±0.85 <sup>a</sup>
末次随访	9.54±2.83 <sup>a</sup>	85.38±2.83 <sup>a</sup>	85.47±2.39 <sup>a</sup>	1.35±0.97 <sup>a</sup>

<sup>a</sup>: P<0.05, 与手术前比较。

### 3 讨 论

**3.1 OVBF 的治疗现状** OVCF 由于椎体后缘高度正常, 椎体后壁完整, 无论采用椎体成形术还是 PKP, 其安全性和可行性均得到了大多数学者的认可<sup>[5]</sup>。而 OVBF 由于椎体前、后缘高度下降, 椎体后壁程度不同的骨折, 部分患者合并有椎间盘损伤, 髓核突入到骨折椎体内及存在椎间隙狭窄等。治疗手段从保守治疗到微创手术再到植骨融合内固定<sup>[6-7]</sup>, 没有统一的标准。经皮 PKP 治疗 OVCF 可以矫正后凸畸形、稳定椎体、即刻减轻疼痛。但对于无神经症状的涉及前中柱的 OVBF 患者, 很多学者认为如果应用经皮 PKP 治疗, 容易出现骨折块进一步向椎管内移位及骨水泥沿着破裂的椎体后方骨皮质渗漏到椎管内<sup>[2]</sup>。本文 45 例 OVBF 患者行 PKP 治疗, 临床效果、椎体高度恢复及后凸畸形矫正显著, 能重建椎体前中柱恢复矢状面平衡, 椎管无明显狭窄, 骨水泥渗漏到椎管内 2 例, 未引起神经症状。

**3.2 骨水泥渗漏的解剖学基础和渗漏分型** 骨水泥渗漏的原因是多方面的, 学者们更多注重的是骨折的程度, 穿刺针、球囊的位置, 骨水泥的黏稠度, 注射时的压力与速度等。对于椎体解剖学因素关注度相对较少, 忽略了椎基静脉及椎基静脉孔的存在, 由于它的存在使椎体后壁失去了阻挡骨水泥进入椎管的屏障, 使脊髓与神经根失去天然保护。椎基静脉孔是位于椎体后壁, 双侧椎弓根之间的皮质缺损区, 是椎基静脉、动脉、神经的通道, 与椎体内骨髓腔相通。椎基静脉通过椎基静脉孔进入椎管, 是连接椎体中央静脉与硬膜外静脉丛的纽带。赵兴等<sup>[8]</sup>对胸腰段椎基静脉孔 CT 影像学表现进行了描述, 而且该研究认为它可能是肿瘤转移、感染扩散的主要通道。到目前为止, 对于椎体成形时出现的骨水泥渗漏的分型没有统一的标准。按照渗漏的路径, Yeom 等<sup>[9]</sup>将其分成 3 型: 椎基静脉型(B-type)、节段静脉型(S-type)和骨皮质型(C-type)。

作者观察脊柱 OVBF 影像资料及参考相关文献发现: OVBF 一般受伤暴力轻微, 一般为 A3.1 型多见, 后柱很少受累, 以压缩为主, 骨折裂隙较小甚至不显著, 椎体后壁尽管有骨折, 粉碎、移位较轻, 椎管狭窄很少超过 30%, 后纵韧带很少断裂, 骨折块无翻转。理论上由于骨折块与骨折线存在, 行 PKP 治疗时球囊扩张推注骨水泥时出现椎体后缘的骨折块移位及骨水泥沿着骨折线渗漏到椎管内。本研究结果显示, 骨水泥向椎管内渗漏并非经破裂的椎体后壁原因可能是:(1)注射骨水泥时 C 臂透视骨水泥到达椎体后 1/5 或出现渗漏时立即停止注射;(2)球囊扩张椎体内骨空腔形成推注骨水泥时的低压力;(3)本组患者大多在骨折后 1 个月以上手术, 椎体内血肿机化填满骨折线, 黏稠的骨水泥很难进入骨折线;(4)采用横突-关节突入路球囊一般位于椎体中部, 既能使椎体达到良好复位又离椎体后壁相对较远, 不破坏椎体后壁结构及加重椎体后壁的损伤;(5)球囊扩张挤压骨小梁后使骨空腔壁致密并且封闭骨折线;(6)球囊扩张后纵韧带张力恢复阻止骨水泥进入椎管;

(7)椎体高度恢复, 骨折块复位使骨折裂隙减小;(8)椎基静脉孔及椎基静脉的存在使椎体后壁失去阻止骨水泥进入椎管的天然屏障, 骨髓腔及椎基静脉孔均增大, 并且远大于骨折线, 骨水泥更容易扩散;(9)椎体高度的恢复, 增加了骨水泥的容纳空间, 减少渗漏。

本组患者均为不完全爆裂骨折, 即上半部分和下半部分骨折, 且椎体上半部分骨折占多数, 上位椎间隙的渗漏率明显高于下位椎间隙。说明椎间隙内的渗漏与椎体终板损伤程度是一致的。球囊距离终板较近, 球囊扩张时上终板及骨折线不易封闭, 骨水泥容易顺着终板骨折裂隙渗漏入椎间隙。终板破裂的原因是退变还是外伤有待进一步探讨, 赵凤东等<sup>[10]</sup>认为同一椎体上终板的骨密度及骨矿物质含量明显低于下终板, 而 BMD 与骨矿物质水平和终板极限负荷呈正相关。对于骨质疏松的患者骨矿物质水平与 BMD 成比例的减少, 所以上终板在轻微外伤就可能骨折。对于此型渗漏缺乏大量临床资料证实会出现椎体间活动异常和疼痛等症状, 是否会出现临近椎体的骨折, 学者观点不一<sup>[11-14]</sup>, 多数学者认为骨水泥渗漏到椎间盘后, 会导致相邻椎体的应力集中而引起相邻椎体骨折。也有学者认为不会出现临近节段骨折, 邻近节段的骨折原因很多如骨折的节段、部位, 骨质疏松的程度, 骨水泥填充的量、分布情况, 治疗方法, 椎体高度恢复的程度, 初次骨折的严重程度, 后凸畸形的角度, 患者的体质量与年龄, 术后患者的活动量等因素均有关, 所以术后邻近椎体再骨折是骨质疏松的发展过程, 还是骨水泥渗漏到椎间隙造成局部应力增加、还是临近椎体强化引起、还是几个因素兼而有之, 临床研究和生物力学的研究至今都没有得出一个令人满意的答案。

### 参 考 文 献

- [1] 董双海, 田纪伟, 王雷, 等. 应用经皮椎体成形术及经皮椎体后凸成形术治疗骨质疏松性椎体压缩骨折[J]. 中华创伤杂志, 2011, 27(3): 236-240.
- [2] 王松, 王清, 康建平, 等. 经横突-椎弓根单侧穿刺椎体后凸成形术治疗胸腰椎骨质疏松性压缩骨折[J]. 中国脊柱脊髓杂志, 2012, 22(7): 22-26.
- [3] Lee ST, Chen JF. Closed reduction vertebroplasty for the treatment of osteoperotic vertebral compression fractures [J]. Neurosurg, 2004, 100(4): 392-396.
- [4] Kuklo TR, Polly DW, Owens BD, et al. Measurement of thoracic and lumbar fracture kyphosis: evaluation of intraobserver interobserver, and technique variability[J]. Spine, 2001, 26(1): 61-65.
- [5] Layton KF, Thielen KR, Koch CA, et al. Vertebroplasty, first 1000 levels of a single center: evaluation of the outcomes and complications[J]. AJNR Am J Neuroradiol, 2007, 28(5): 683-689.
- [6] Shen WJ, Shen YS. Nonsurgical treatment of three column thoraco-lumbar Junction burst fractures without neurologic deficit[J]. Spine, 1999, 24(6): 412-452.
- [7] Sjostrom L, Karlstrom D, Pech P, et al. Indirect spinal canal decompression in burst fractures treated with pedicle screw instrumentation[J]. Spine, 1996, 21(8): 113-123.
- [8] 赵兴, 赵凤, 东方向前, 等. 胸腰段椎体椎基静脉孔的 CT 影像学特征及其意义[J]. 中华骨科杂志, 2012, 32(1): 58-64.

(下转第 1462 页)

低。由于 TGF- $\beta$  信号是通过其受体-TGF- $\beta$ R 来介导的, TGF- $\beta$ R 的存在是 TGF- $\beta$ /Smads 信号下传的必要条件, 如果 TGF- $\beta$ R 表达水平降低或丧失, 则 TGF- $\beta$  信号传导受阻, 无法发挥 TGF- $\beta$  维持细胞内环境稳定性。在癌基因启动和抑癌基因功能丧失等多种相关因素的共同作用下, 黑色素瘤细胞自身出现 TGF- $\beta$  抑制作用缺失, 可导致黑色素瘤细胞的特征性病理改变, 出现异常黑素细胞的失控性异常增殖及浸润、扩散。因此, 本实验为黑色素瘤细胞出现异常增殖的机制研究提供了一定的依据。

通过本实验研究, 说明 TGF- $\beta$ R 表达水平的降低可能既存在于机体的黑色素瘤组织中, 也出现在体外培养的人黑色素瘤细胞株中。推测 TGF- $\beta$ R 的异常表达可能参与了黑色素瘤的发生和发展过程中, 也或许为黑色素瘤细胞本身内在所固有的表现。因此在体外培养条件下, 人黑色素瘤 A375 细胞仍然持续表达此信号通路异常的特质。但机体黑色素瘤中 TGF- $\beta$ R 表达降低的原因并不清楚, 是否可以推测: 黑色素瘤组织中存在多种促使或抑制黑素细胞生长、增殖、凋亡及分化的基因发生改变, 而 TGF- $\beta$ R 表达的降低可能是其中原因之一。在多种促癌基因和抑癌基因异常调节的协同作用下, 异常黑素细胞出现失控性异常增殖。研究黑色素瘤细胞中的 TGF- $\beta$ /Smad 信号转导的表达, 是为进一步深入系统了解黑色素瘤的发病机制奠定基础。

## 参考文献

- [1] 李鹏程, 张虹, 丁正平, 等. TGF- $\beta$ R 和 Smad4 蛋白在葡萄膜黑色素瘤中的表达[J]. 肿瘤防治研究, 2005, 32(1): 35-36.
- [2] 武犁, 邢怡桥, 李鹏程, 等. TGF- $\beta$ 1/TGF- $\beta$ R II 和 Smad4 在葡萄膜黑色素瘤中的表达[J]. 眼科新进展, 2005, 25(3): 240-241.
- [3] 徐前喜, 杜娟, 朱铁君, 等. 体外培养正常人黑素细胞 TGF- $\beta$ 1 及其 I 型受体的表达[J]. 中国麻风皮肤病学杂志, 2006, 22(5): 353-355.
- [4] Livak KJ, Schmittgen TD. Analysis of relative gene expression data using real-time quantitative PCR and 2 (-

(上接第 1459 页)

- [9] Yeom JS, Kim WJ, Choy WS, et al. Leakage of cement in percutaneous transpedicular vertebroplasty for painful osteoporotic compression fractures[J]. Bone Joint Surg Br, 2003, 85(1): 83-89.
- [10] 赵凤东, 范顺武, Patricia Dolan, 等. 腰椎终板骨折特点及相关因素的实验研究[J]. 中华外科杂志, 2006, 44(16): 1132-1135.
- [11] Klazen CA, Venmans A, de Vries J, et al. Percutaneous vertebroplasty is not a risk factor for new osteoporotic compression fractures: results from vertos II [J]. Neuroradiol, 2010, 31(20): 1447-1450.
- [12] Lin WC, Cheng TT, Lee YC, et al. New vertebral osteo-

Delta Delta C (T)). Methods[J]. Methods, 2001, 25(4): 402-408.

- [5] 郁博, 何威, 张斌, 等. 肿瘤坏死因子- $\alpha$  对角质形成细胞株 HaCaT 细胞糖皮质激素受体表达的影响[J]. 临床皮肤科杂志, 2010, 39(5): 279-282.
- [6] Perrot CY, Javelaud D, Mauviel A. Insights into the transforming growth factor- $\beta$  signaling pathway in cutaneous melanoma[J]. Ann Dermatol, 2013, 25(2): 135-144.
- [7] Peng WM, Maintz L, Allam JP, et al. Attenuated TGF- $\beta$ 1 responsiveness of dendritic cells and their precursors in atopic dermatitis[J]. Eur J Immunol, 2013, 43(5): 1374-1382.
- [8] Oshimori N, Fuchs E. The harmonies played by TGF- $\beta$  in stem cell biology[J]. Cell Stem Cell, 2012, 11(6): 751-764.
- [9] 朱冰, 张新定. TGF- $\beta$ /Smads 信号转导通路与脑胶质瘤的研究进展[J]. 重庆医学, 2011, 40(24): 2457-2459.
- [10] Smith AL, Robin TP, Ford HL. Molecular pathways: targeting the TGF- $\beta$  pathway for cancer therapy[J]. Clin Cancer Res, 2012, 18(17): 4514-4521.
- [11] Lan HY, Chung AC. TGF- $\beta$ /Smad signaling in kidney disease[J]. Semin Nephrol, 2012, 32(3): 236-243.
- [12] Zi Z, Chapnick DA, Liu X. Dynamics of TGF- $\beta$ /Smad signaling[J]. FEBS Lett, 2012, 586(14): 1921-1928.
- [13] Hneino M, François A, Buard V, et al. The TGF- $\beta$ /Smad repressor TG-interacting factor 1 (TGIF1) plays a role in radiation-induced intestinal injury independently of a Smad signaling pathway[J]. PLoS One, 2012, 7(5): e35672.
- [14] Yamada Y, Mashima H, Sakai T, et al. Functional roles of TGF- $\beta$ 1 in intestinal epithelial cells through Smad-dependent and non-Smad pathways[J]. Dig Dis Sci, 2013, 58(5): 1207-1217.

(收稿日期: 2014-07-11 修回日期: 2015-01-24)

porotic compression fractures after percutaneous vertebroplasty: retrospective analysis of risk factors[J]. Vasc Interv Radiol, 2008, 19(8): 225-231.

- [13] Al-Ali F, Barrow T, Luke K. Vertebroplasty: what is important and what is not[J]. Neuroradiol, 2009, 30(14): 1835-1839.

- [14] Tseng YY, Yang TC, Tu PH, et al. Repeated and multiple new vertebral compression fractures after percutaneous transpedicular vertebroplasty[J]. Spine, 2009, 34(19): 1917-1922.

(收稿日期: 2014-11-10 修回日期: 2015-01-28)